

Odkrywanie supersymetrii - przypadek ciężkich sfermionów

Krzysztof Rolbiecki (IFT UW)

we współpracy z: *K. Desch, J. Kalinowski, G. Moortgat-Pick, J. Stirling*

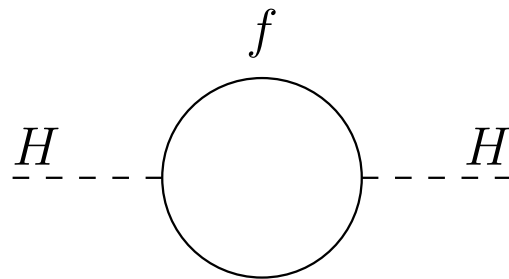
JHEP 0612, 007 (2006)

Warszawa, 9/03/2007

1. Wstęp – ogólne uwagi o supersymetrii
2. Supersymetria z ciężkimi sfermionami
3. Przykładowy scenariusz
4. Wyznaczanie parametrów modelu
5. Rola korelacji spinowych i asymetrii przód-tył
6. Wyniki analizy numerycznej
7. Zakończenie i wnioski

Problem hierarchii

- aby złamać symetrię elektroslabą i nadać masy cząstkom Modelu Standardowego, pewna cząstka skalarna musi otrzymać niezerową próżniową wartość oczekiwaną (VEV)
- w Modelu Standardowym rolę tę pełni elementarny skalar – cząstka Higgsa
- ale poprawki kwantowe do masy bozonu Higgsa m_H są kwadratowo rozbieżne



$$\delta m_H^2 = -\frac{|\lambda_f|^2}{8\pi^2} \Lambda_{UV}^2 + \dots$$

gdzie Λ_{UV} jest skalą obcięcia teorii

Problem hierarchii

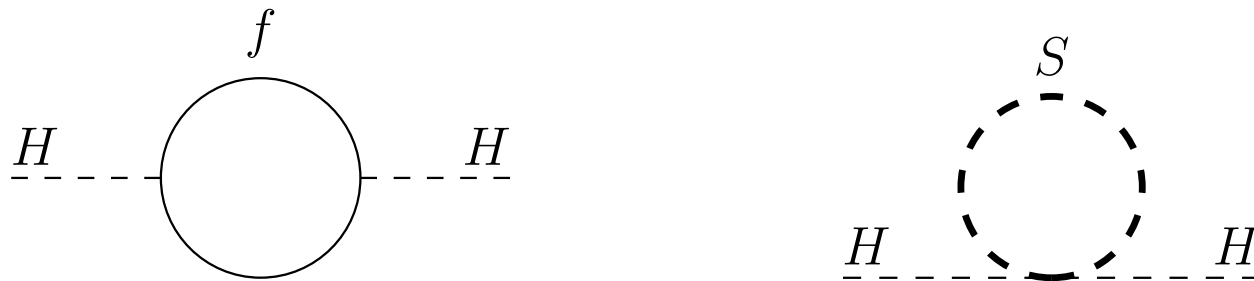
Ponieważ Λ_{UV} może w ogólności być $\mathcal{O}(m_{Pl})$, prowadzi to do dużych poprawek do m_H . Tak duże poprawki w Modelu Standardowym do masy bozonu Higgsa, która powinna być $m_H = \mathcal{O}(m_W)$, prowadzą do dwóch problemów:

- jak otrzymać m_H tak, żeby była ona wiele rzędów wielkości mniejsza niż inne fundamentalne skale w fizyce, jak skala unifikacji albo skala Plancka
– **problem hierarchii**
- jak uniknąć poprawek δm_H^2 , które są znacznie większe niż m_H^2
– **problem naturalności**

Rozwiązanie tych dwóch problemów może nam dać supersymetria (SUSY)

Supersymetryczne rozwiązanie problemu hierarchii

Możemy zauważyć, że poprawki pętlowe z fermionami i bozonami są przeciwnych znaków. Jeśli w teorii występuje taka sama liczba fermionowych i bozonowych stopni swobody oraz dodatkowo jeśli mają one identyczne sprzężenia, to rozbieżności kwadratowe się kasują



$$\begin{aligned}\delta m_H^2 &= -2 \frac{|\lambda_f|^2}{16\pi^2} \Lambda_{UV}^2 + \frac{\lambda_S}{16\pi^2} \Lambda_{UV}^2 + \frac{\lambda_S}{16\pi^2} \Lambda_{UV}^2 + \dots \\ &= \frac{\Lambda_{UV}^2}{8\pi^2} (\lambda_S - |\lambda_f|^2) + \dots\end{aligned}$$

- pozostają człony proporcjonalne do

$$m_f^2 \log \left(\frac{\Lambda_{UV}}{m_f} \right) \quad \text{i} \quad m_S^2 \log \left(\frac{\Lambda_{UV}}{m_S} \right)$$

Supersymetria

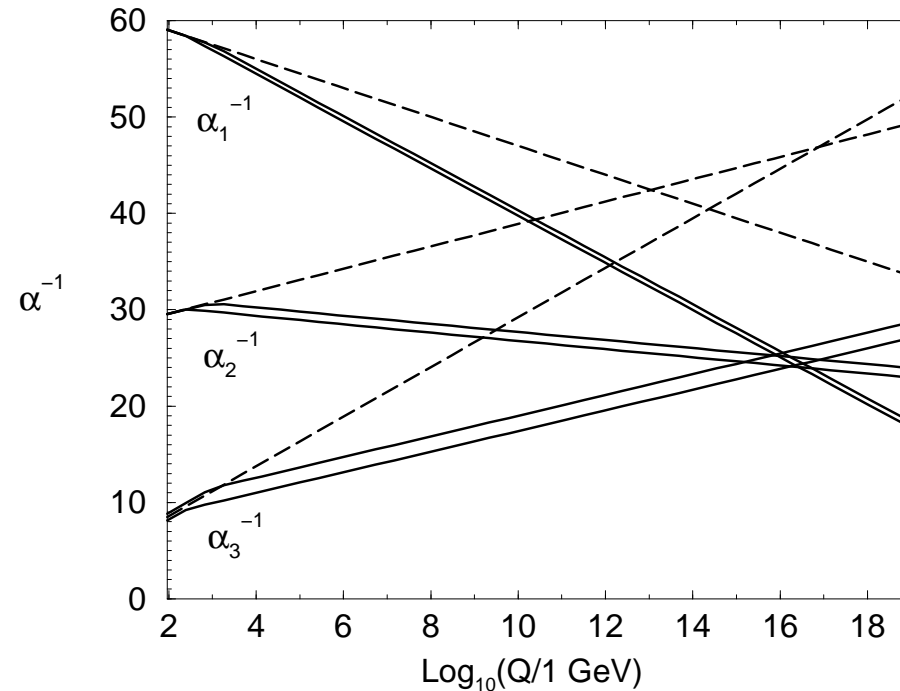
- symetria pomiędzy bozonami i fermionami

$$Q|\text{fermion}\rangle = |\text{bozon}\rangle; \quad Q|\text{bozon}\rangle = |\text{fermion}\rangle$$

- łączy symetrię czasoprzestrzeni ze spinem cząstek – unikalne rozszerzenie symetrii Lorentza
- łączy cząstki w „supermultiplety” – w obrębie jednego supermultipletu cząstki mają te same liczby kwantowe i masy
- doświadczalnie nie obserwujemy superpartnerów cząstek z Modelu Standardowego \Rightarrow supersymetria musi być spontanicznie złamana
- łamanie supersymetrii zachodzi w „sektorze ukrytym” i jest przenoszone do sektora widzialnego np. przez grawitację

Inne zalety supersymetrii

- unifikacja oddziaływań



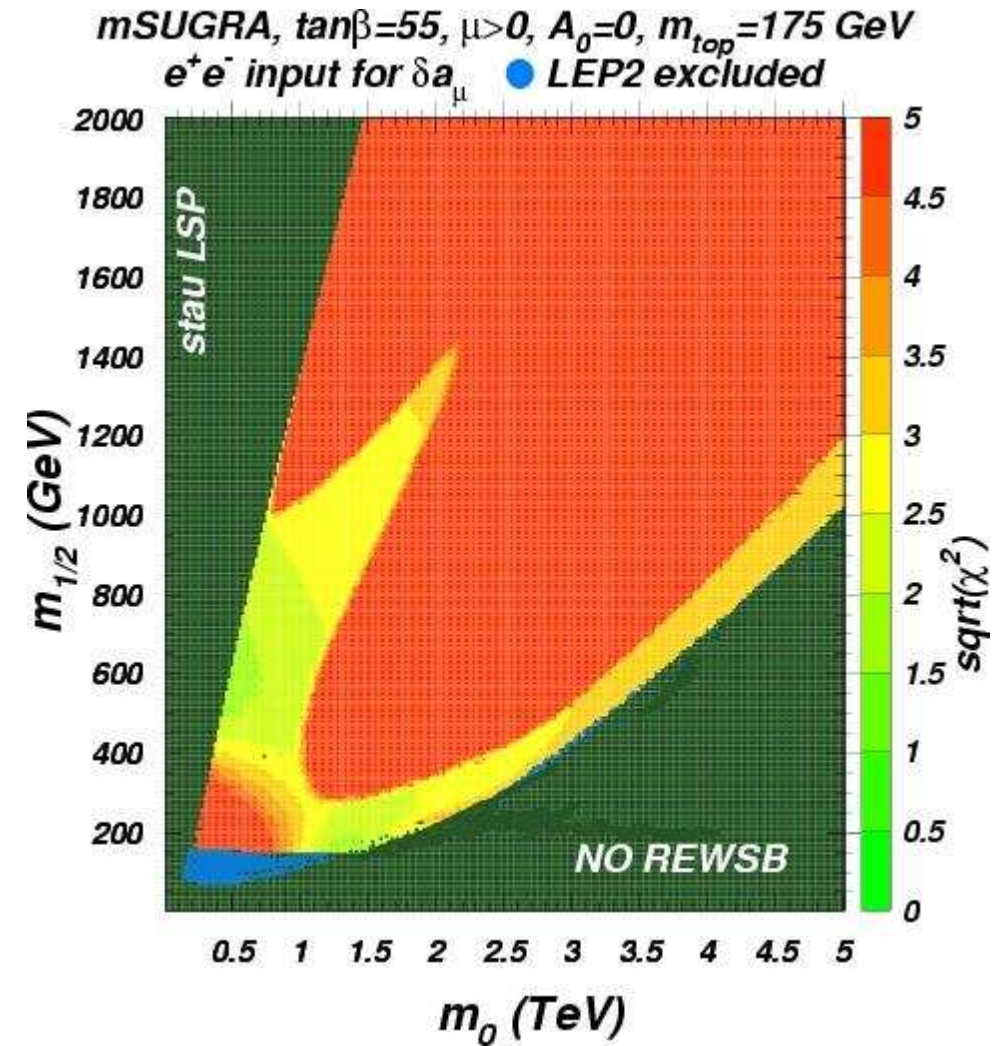
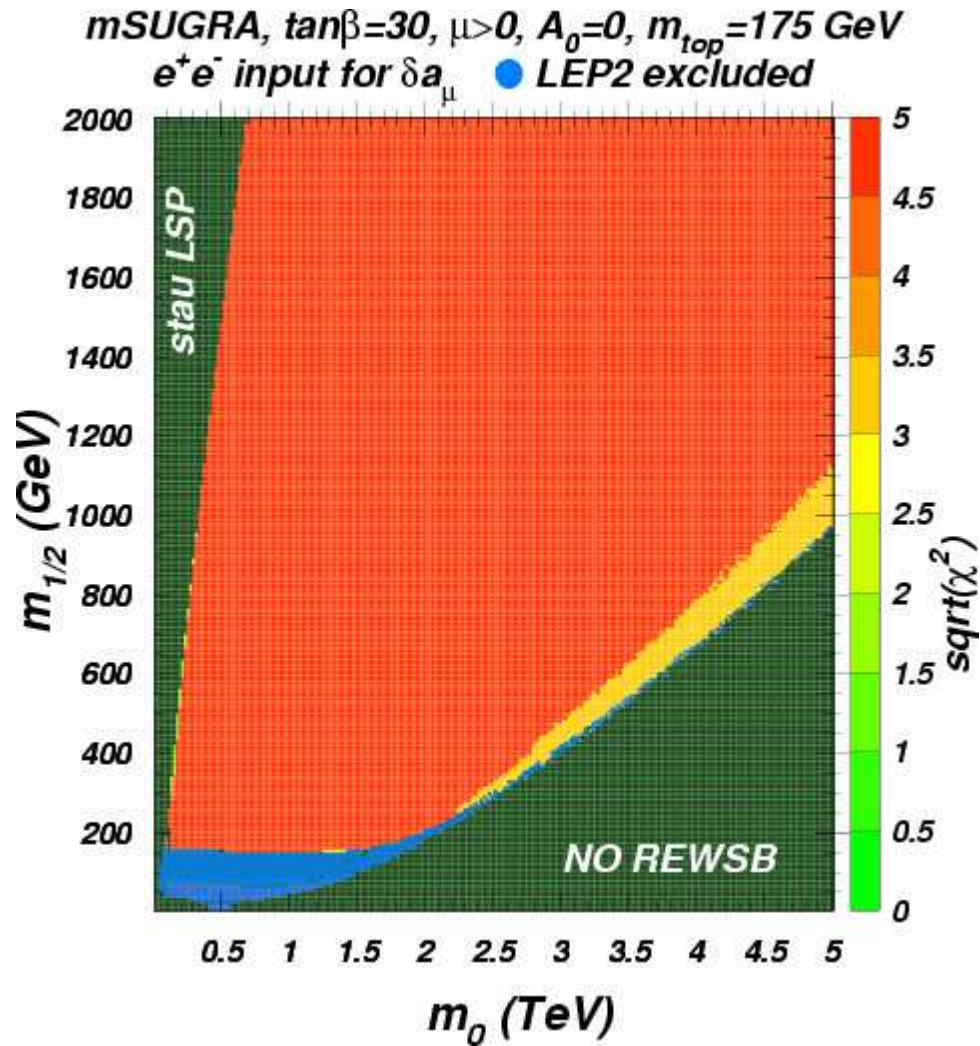
- naturalny kandydat na ciemną materię – najlżejsza cząstka supersymetryczna (LSP)
- nowe źródła łamania symetrii CP – możliwość wyjaśnienia asymetrii barionowej Wszechświata
- jest zgodna z danymi doświadczalnymi

Minimalny Supersymetryczny Model Standardowy

cząstki		spin 0	spin 1/2	$SU(3)_c, SU(2)_L, U(1)_Y$
skwarki i kwarki (3 generacje)	Q	$\begin{pmatrix} \tilde{u}_L \\ \tilde{d}_L \end{pmatrix}$	$\begin{pmatrix} u \\ d \end{pmatrix}_L$	$(\mathbf{3}, \mathbf{2}, \frac{1}{6})$
	U	\tilde{u}_R^*	u_R^\dagger	$(\bar{\mathbf{3}}, \mathbf{1}, -\frac{2}{3})$
	D	\tilde{d}_R^*	d_R^\dagger	$(\bar{\mathbf{3}}, \mathbf{1}, \frac{1}{3})$
sleptony i leptony (3 generacje)	L	$\begin{pmatrix} \tilde{\nu} \\ \tilde{e}_L \end{pmatrix}$	$\begin{pmatrix} \nu \\ e \end{pmatrix}_L$	$(\mathbf{1}, \mathbf{2}, -\frac{1}{2})$
	E	\tilde{e}_R^*	e_R^\dagger	$(\mathbf{1}, \mathbf{1}, 1)$
bozony Higgsa i higgsina	H_u	$\begin{pmatrix} H_u^+ \\ H_u^0 \end{pmatrix}$	$\begin{pmatrix} \tilde{H}_u^+ \\ \tilde{H}_u^0 \end{pmatrix}$	$(\mathbf{1}, \mathbf{2}, \frac{1}{2})$
	H_d	$\begin{pmatrix} H_d^0 \\ H_d^- \end{pmatrix}$	$\begin{pmatrix} \tilde{H}_d^0 \\ \tilde{H}_d^- \end{pmatrix}$	$(\mathbf{1}, \mathbf{2}, -\frac{1}{2})$

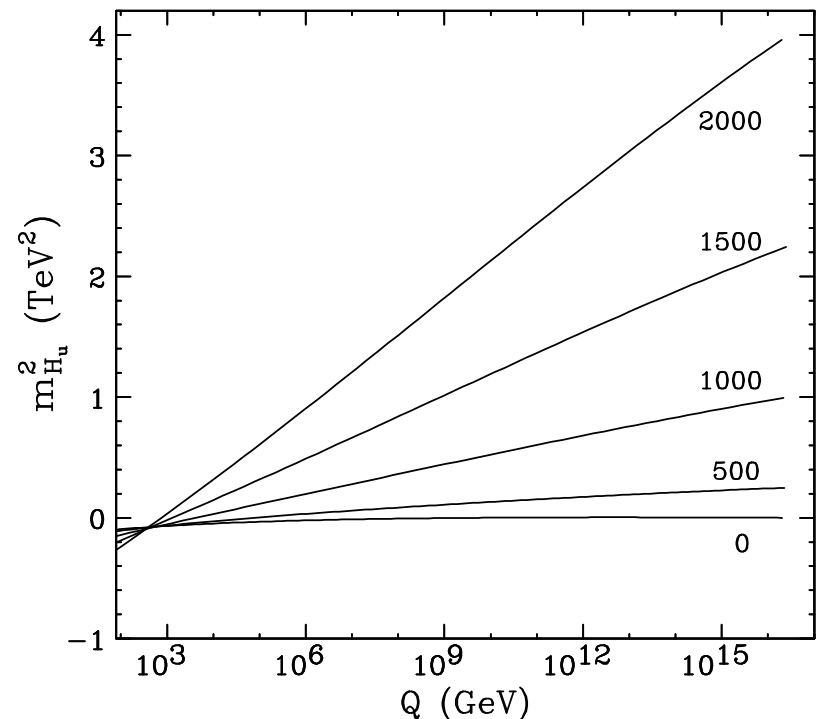
cząstki	spin $\frac{1}{2}$	spin 1	$SU(3)_c, SU(2)_L, U(1)_Y$
gluino, gluon	\tilde{g}	g	$(\mathbf{8}, \mathbf{1}, 0)$
wina, bozony W	$\tilde{W}^\pm \tilde{W}^0$	$W^\pm W^0$	$(\mathbf{1}, \mathbf{3}, 0)$
binio, bozon B	\tilde{B}^0	B^0	$(\mathbf{1}, \mathbf{1}, 0)$

Gdzie szukać supersymetrii?



Focus Point Supersymmetry

- najważniejsza cecha: masy sleptonów, skwarków i bozonów Higgsa (oprócz jednego) powyżej 1 TeV
- masy gaugin i higgsin rzędu skali elektroślabej
- masy miękko łamiące supersymetrię spełniają relację przy skali unifikacji $(m_{H_u}^2, m_{\tilde{t}_R}^2, m_{\tilde{t}_L}^2) \propto (1, 1 + x, 1 - x)$
- linie ewolucji $m_{H_u}^2$ „skupiają” się w jednym punkcie, zapewniając w naturalny sposób łamanie symetrii elektroślabej przy odpowiedniej energii
- ta własność jest niezależna od parametrów łamiących supersymetrię



Sektor chargin

- macierz masy chargin w bazie $(\tilde{W}^-, \tilde{H}^-)$

$$M_{\tilde{\chi}^\pm} = \begin{pmatrix} M_2 & \sqrt{2}m_W \cos \beta \\ \sqrt{2}m_W \sin \beta & \mu \end{pmatrix}$$

- diagonalizujemy ją za pomocą dwóch unitarnych macierzy U i V

$$V^* M_{\tilde{\chi}^\pm} U^\dagger = \begin{pmatrix} m_{\tilde{\chi}_1^\pm} & 0 \\ 0 & m_{\tilde{\chi}_2^\pm} \end{pmatrix}$$

- stany własne macierzy masy w reprezentacji Weyla

$$U \begin{pmatrix} \tilde{W}_L^- \\ \tilde{H}_d^- \end{pmatrix} = \begin{pmatrix} \chi_{1L}^- \\ \chi_{2L}^- \end{pmatrix} \quad V \begin{pmatrix} \tilde{W}_R^+ \\ \tilde{H}_u^+ \end{pmatrix} = \begin{pmatrix} \chi_{1R}^+ \\ \chi_{2R}^+ \end{pmatrix}$$

- i jako spinory Diraca

$$\tilde{\chi}_1^- = \begin{pmatrix} \chi_{1L}^- \\ \chi_{1R}^- \end{pmatrix}, \quad \tilde{\chi}_2^- = \begin{pmatrix} \chi_{2L}^- \\ \chi_{2R}^- \end{pmatrix}$$

Sektor neutralin

- macierz masy neutralin w bazie $(\tilde{B}, \tilde{W}^0, \tilde{H}_d^0, \tilde{H}_u^0)$

$$M_{\tilde{\chi}^0} = \begin{pmatrix} M_1 & 0 & -m_Z c_\beta s_W & m_Z s_\beta s_W \\ 0 & M_2 & m_Z c_\beta c_W & -m_Z s_\beta c_W \\ -m_Z c_\beta s_W & m_Z c_\beta c_W & 0 & -\mu \\ m_Z s_\beta s_W & -m_Z s_\beta c_W & -\mu & 0 \end{pmatrix}$$

- diagonalizacja macierzy masy

$$\text{diag}(m_{\tilde{\chi}_1^0}, m_{\tilde{\chi}_2^0}, m_{\tilde{\chi}_3^0}, m_{\tilde{\chi}_4^0}) = N^* M_{\tilde{\chi}^0} N^{-1}$$

- stany własne macierzy masy – spinory Weyla χ_i^0 i spinory Majorany $\tilde{\chi}_i^0$ ($i = 1, 2, 3, 4$)

$$\begin{pmatrix} \chi_1^0 \\ \chi_2^0 \\ \chi_3^0 \\ \chi_4^0 \end{pmatrix} = N \begin{pmatrix} \tilde{B} \\ \tilde{W}^0 \\ \tilde{H}_d^0 \\ \tilde{H}_u^0 \end{pmatrix} \quad \tilde{\chi}_i^0 = \begin{pmatrix} \chi_i^0 \\ \bar{\chi}_i^0 \end{pmatrix}$$

Wybrany scenariusz

- focus point w modelu mSUGRA:

$$M_0 = 2000 \text{ GeV}, M_{1/2} = 144 \text{ GeV}, \tan \beta = 20, A_0 = 0, \text{sign } \mu = +$$

⇒ UWAGA: w naszej analizie nie wykorzystujemy założeń mSUGRA

- parametry przy skali elektroslabej obliczone przez *SPheno*:

$$M_1 = 60 \text{ GeV}, M_2 = 121 \text{ GeV}, M_3 = 322 \text{ GeV}, \mu = 540 \text{ GeV}$$

- masy chargin, neutralin i gluina:

$$m_{\tilde{\chi}_1^\pm} = 117 \text{ GeV}, m_{\tilde{\chi}_2^\pm} = 552 \text{ GeV}, m_{\tilde{\chi}_1^0} = 59 \text{ GeV}, m_{\tilde{\chi}_2^0} = 117 \text{ GeV}, \\ m_{\tilde{\chi}_3^0} = 545 \text{ GeV}, m_{\tilde{\chi}_4^0} = 550 \text{ GeV}, m_{\tilde{g}} = 416 \text{ GeV}$$

- skwarki stop: $m_{\tilde{t}_1} = 1093 \text{ GeV}$, $m_{\tilde{t}_2} = 1584 \text{ GeV}$
inne skwarki i sleptony $\sim 2 \text{ TeV}$

- sektor Higgsa: $m_h = 119 \text{ GeV}$, $m_{H,H^\pm,A} = 1935 \text{ GeV}$

- co możemy wykorzystać?

LHC ⇒ gluina: $\tilde{g} \rightarrow \tilde{\chi}_2^0 b \bar{b}$, skwarki (oprócz $\tilde{t}_{1,2}$) $\sigma \sim 1 \text{ pb}$

ILC₅₀₀ ⇒ lekkie charginy: $\sigma(e^+e^- \rightarrow \tilde{\chi}_1^+ \tilde{\chi}_1^-) \sim 2 \text{ pb}$, neutralina $\tilde{\chi}_{1,2}^0$

również dostępne kinematycznie, ale $\sigma(e^+e^- \rightarrow \tilde{\chi}_1^0 \tilde{\chi}_2^0) < 1 \text{ fb}$

Dane eksperymentalne z LHC

- wszystkie kwarki znajdują się w zasięgu kinematycznym
 - ⇒ stop: $BR(\tilde{t}_{1,2} \rightarrow \tilde{g}t) \sim 66\%$
 - duże tło od produkcji kwarków t , trudne do wyeliminowania
 - ⇒ inne skwarki rozpadają się głównie na gluino i kwark, rekonstrukcja masy może okazać się trudna
 - ⇒ zakładamy, że można wyznaczyć masy z dokładnością **50 GeV**
- produkcja gluina: duży przekrój czynny, kilka kanałów rozpadu

Mode	$\tilde{g} \rightarrow \tilde{\chi}_2^0 b\bar{b}$	$\tilde{g} \rightarrow \tilde{\chi}_1^- q_u \bar{q}_d$	$\tilde{\chi}_1^+ \rightarrow \tilde{\chi}_1^0 \bar{q}_d q_u$	$\tilde{\chi}_2^0 \rightarrow \tilde{\chi}_1^0 \ell^+ \ell^-$	$\tilde{t}_{1,2} \rightarrow \tilde{g}t$	$\tilde{\chi}_1^- \rightarrow \tilde{\chi}_1^0 \ell^- \bar{\nu}_\ell$
BR	14.4%	10.8%	33.5%	3.0%	66%	11.0%

- rozkład masy pary leptonów z rozpadu $\tilde{\chi}_2^0$ pozwala wyznaczyć różnicę mas neutralin:

$$\delta(m_{\tilde{\chi}_2^0} - m_{\tilde{\chi}_1^0}) \sim 0.5 \text{ GeV}$$

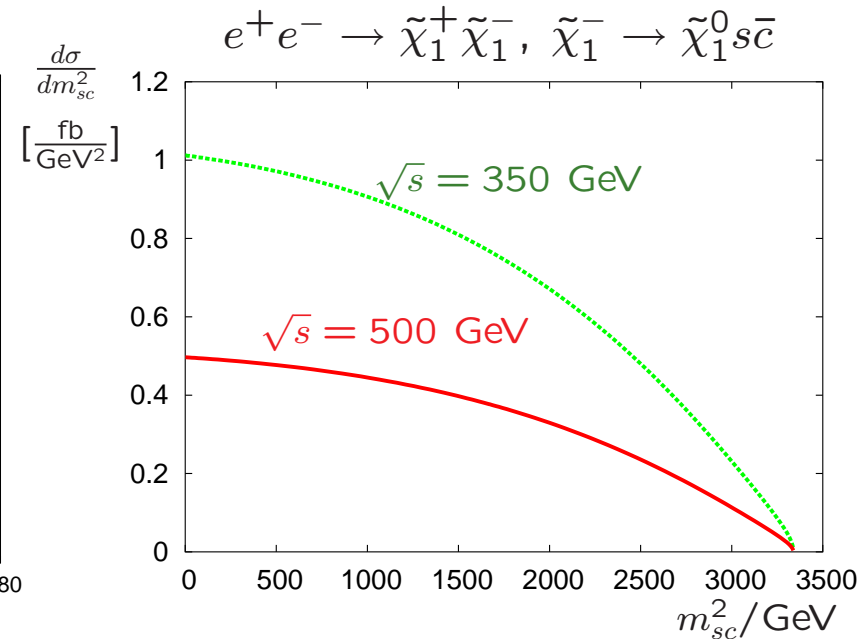
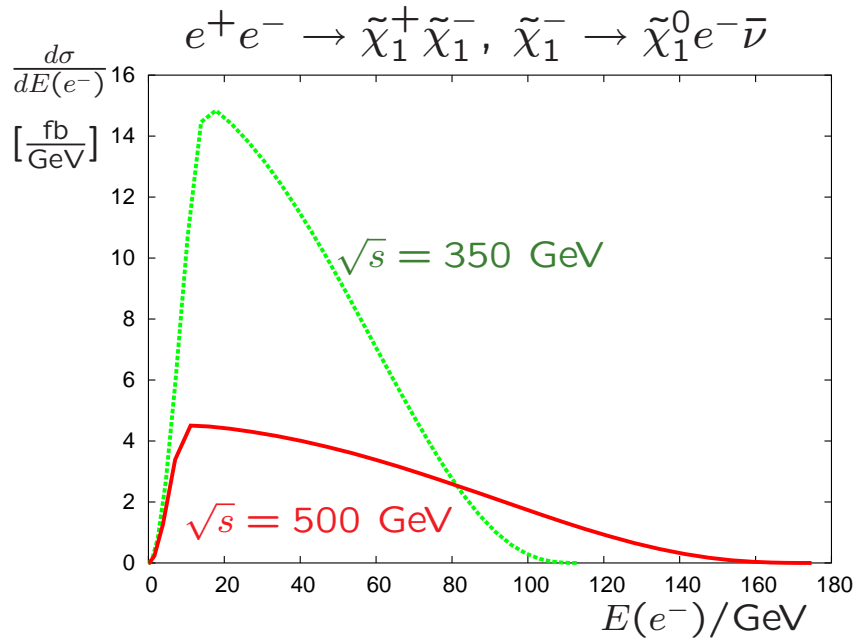
Dane eksperymentalne z ILC

- w **ILC₅₀₀** jedynie $e^+e^- \rightarrow \tilde{\chi}_1^+\tilde{\chi}_1^-, \tilde{\chi}_1^0\tilde{\chi}_1^0, \tilde{\chi}_1^0\tilde{\chi}_2^0, \tilde{\chi}_2^0\tilde{\chi}_2^0$ dostępne
- ale **przekroje czynne dla neutralin < 1 fb \Rightarrow zbyt małe?**
- wiązki e^+, e^- spolaryzowane **względny błąd 0.5%**
- zakładamy **efektywność $e_{slc} = 50\%$**
- $BR = 2 \times BR(\tilde{\chi}_1^+ \rightarrow \tilde{\chi}_1^0 q_u \bar{q}_d) \times BR(\tilde{\chi}_1^- \rightarrow \tilde{\chi}_1^0 l \bar{\nu}_l) + BR(\tilde{\chi}_1^- \rightarrow \tilde{\chi}_1^0 l \bar{\nu}_l)^2 \simeq 0.34$
gdzie $l = e, \mu$
- scałkowana świetlność przy 350 i 500 GeV **$\mathcal{L} = 200 \text{ fb}^{-1}$** na polaryzację

\sqrt{s}/GeV	(P_{e^-}, P_{e^+})	$\sigma(\tilde{\chi}_1^+\tilde{\chi}_1^-)/\text{fb}$	$\sigma(\tilde{\chi}_1^+\tilde{\chi}_1^-) \times BR \times e_{slc}/\text{fb}$
350	(-90%, +60%)	6195.5	1062.5±4.0
	(0, 0)	2039.1	350.1±2.1
	(+90%, -60%)	85.0	14.6±0.7
500	(-90%, +60%)	3041.5	521.6±2.3
	(0, 0)	1000.6	171.9±1.4
	(+90%, -60%)	40.3	6.9±0.4

Dane z ILC

- masy $\tilde{\chi}_1^\pm$ i $\tilde{\chi}_{1,2}^0$ z rozkładów energii leptonów i mas niezmienniczych par dżetów oraz skanowania progu produkcji



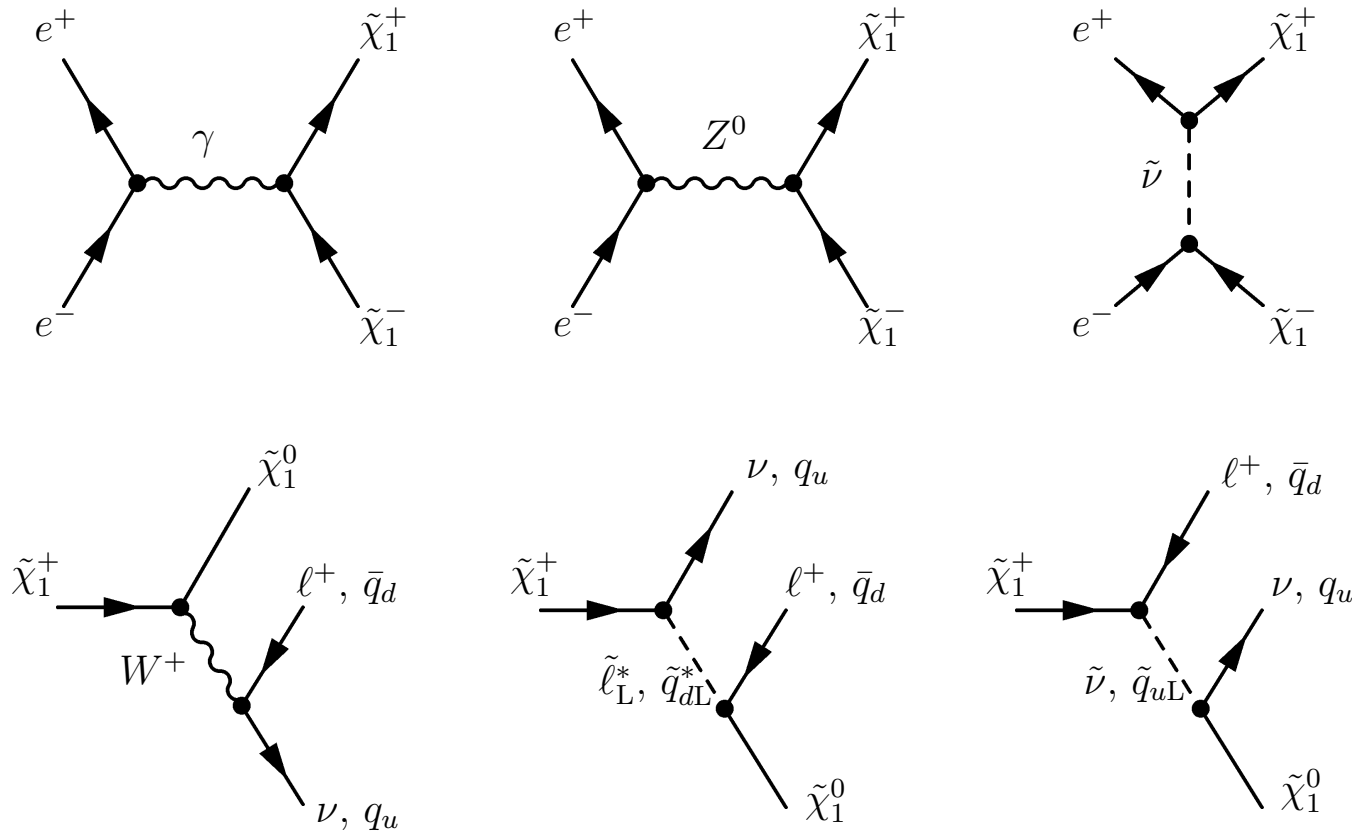
- razem z informacją z LHC otrzymujemy:

$$\delta(m_{\tilde{\chi}_1^0}) = 0.2 \text{ GeV}, \delta(m_{\tilde{\chi}_2^0}) = 0.5 \text{ GeV}, \delta(m_{\tilde{\chi}_1^\pm}) = 0.1 \text{ GeV}$$

- wiedząc, że masy skalarów są duże, możemy przyjąć, że BR na poszczególne rozpady chargin są od nich niezależne

Produkcja chargin

- od jakich parametrów MSSM zależy proces produkcji?



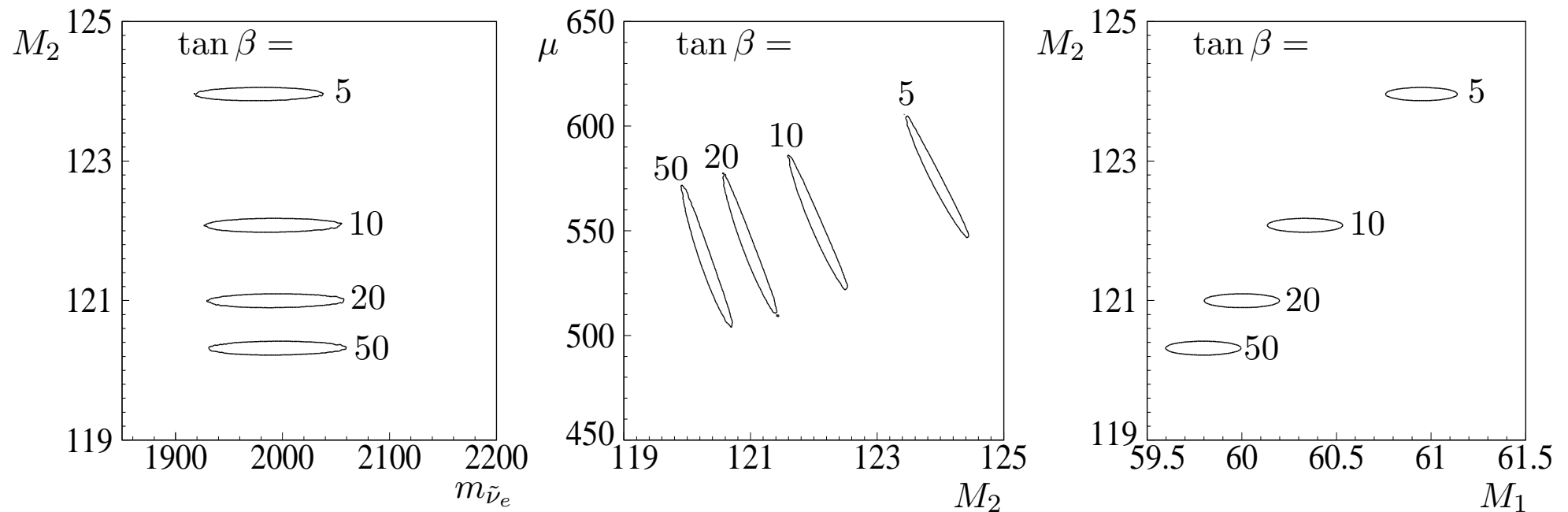
- parametry z sektorów higgsin i gaugin: $M_1, M_2, \mu, \tan \beta$
- masy ciężkich (wirtualnych) cząstek pośrednich: $m_{\tilde{\nu}}, m_{\tilde{\ell}}, m_{\tilde{q}_L}, m_{\tilde{q}_R}$

Wyznaczanie parametrów modelu – krok pierwszy

- wykorzystujemy masy i przekroje czynne na produkcję chargin przy spolaryzowanych wiązkiach e^+ , e^-
- za pomocą testu χ^2 wyznaczamy parametry MSSM razem z niepewnościami
 - ⇒ okazuje się, że między parametrami występują bardzo silne korelacje
 - ⇒ aby uzyskać zbieżność procedury fitowania trzeba ją wykonywać dla ustalonych wartości $\tan \beta$
 - ⇒ wyznaczamy M_1 , M_2 , μ , $m_{\tilde{\nu}}$
- wyniki:
 - ⇒ dla $\tan \beta < 1.7$ dane są sprzeczne z obliczeniami teoretycznymi
 - ⇒ $59.4 \leq M_1 \leq 62.2$ GeV, $118.7 \leq M_2 \leq 127.5$ GeV
 - $450 \leq \mu \leq 750$ GeV, $1800 \leq m_{\tilde{\nu}_e} \leq 2210$ GeV
 - ⇒ M_1 , M_2 wyznaczone z precyzją 5%, ograniczenia na μ i $m_{\tilde{\nu}}$ dość słabe $\sim 15\%$

Wyznaczanie parametrów modelu – krok pierwszy

- masy i przekroje czynne nie dostarczają wystarczającej informacji aby wyznaczyć wszystkie pięć parametrów
- dozwolone obszary **migrują wraz ze zmianą $\tan \beta$** – stąd duże niepewności



- potrzebna jest dodatkowa informacja...

Wyznaczanie parametrów modelu – krok drugi

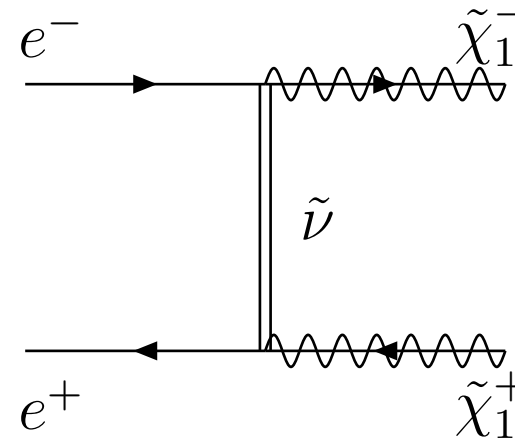
- jaka inna obserwabla może być jeszcze wykorzystana?
 \Rightarrow asymetria przód-tył – kąt między osią wiązki a leptonem/kwarkiem w stanie końcowym
- silnie zależy od korelacji spinowych rozpadającego się chargina
- rozdzielamy pełny proces na produkcję i rozpad, korzystając z przybliżenia wąskiego rezonansu ($m_{\tilde{\chi}} \gg \Gamma_{\tilde{\chi}}$)

$$\bullet |T|^2 = |\Delta_{f_1}|^2 |\Delta_{f_2}|^2 \sum_{fin.sp.} \overbrace{(P^{\lambda_{f_1} \lambda_{f_2}} P^{*\lambda'_{f_1} \lambda'_{f_2}})}^{\text{spin-density matrix}} \times \overbrace{(Z_{\lambda_{f_1}} Z_{\lambda'_{f_1}}^*)}_{\text{decay matrix}} \times \overbrace{(Z_{\lambda_{f_2}} Z_{\lambda'_{f_2}}^*)}_{\text{decay matrix}}$$

\Rightarrow procesy produkcji i rozpadu sprzęgają się przez człony interferencyjne pomiędzy różnymi stanami polaryzacji chargin

Asymetrie przód-tył

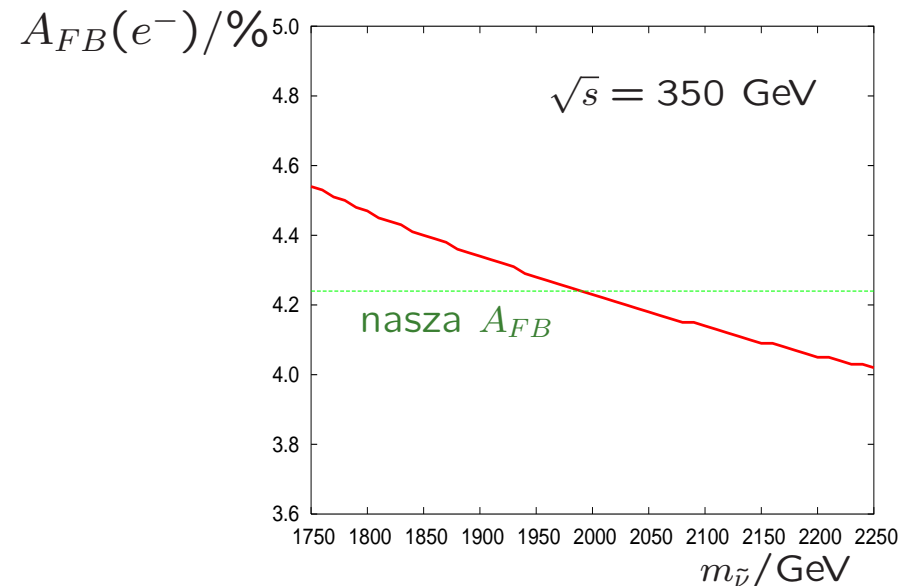
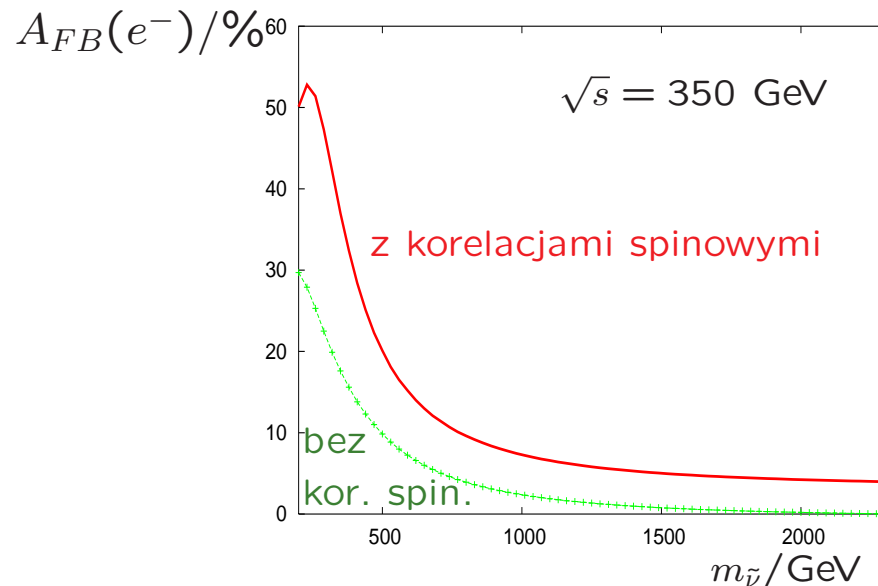
- wymiana **sneutrino** w kanale t :
źródło A_{FB} w produkcji chargin w zderzeniach e^+e^-



- polaryzacja chargin zależy od polaryzacji wiązek

- w naszym przypadku 3-ciałowe rozpady:

$\tilde{\chi}_1^- \rightarrow \tilde{\chi}_1^0 e^- \nu_e$ i $\tilde{\chi}_1^- \rightarrow \tilde{\chi}_1^0 s \bar{c} \Rightarrow$ **korelacje spinowe istotne**



Wyznaczanie parametrów – krok drugi

- wykorzystujemy zmierzone masy, przekroje czynne i A_{FB} z leptonowych rozpadów chargin
- ponieważ rozpad zależy również od nieznannej masy selektronu, przyjmujemy relację $SU(2)$ między masą selektronu i sneutrina

$$m_{\tilde{e}_L}^2 = m_{\tilde{\nu}_e}^2 + m_Z^2 \cos(2\beta)(-1 + \sin^2 \theta_W)$$

- wartości asymetrii z błędami statystycznymi i z błędami od polaryzacji

\sqrt{s}/GeV	(P_{e^-}, P_{e^+})	$A_{FB}(\ell^-)/\%$	$A_{FB}(\bar{c})/\%$
350	(-90%, +60%)	4.42±0.29	4.18±0.74
500	(-90%, +60%)	4.62±0.41	4.48±1.05

- dane dla polaryzacji (+90%, -60%) ze względu na małą liczbę przypadków obciążone zbyt dużym błędem – nie wykorzystujemy ich

Wyznaczanie parametrów – krok drugi

- dołączamy do testu χ^2 wyniki dla asymetrii leptonowych
- nie ma konieczności ustalania $\tan \beta$ – możemy fitować wszystkie 5 parametrów
- otrzymujemy następujące wartości:
 $59.7 \leq M_1 \leq 60.35 \text{ GeV}, \quad 119.9 \leq M_2 \leq 122.0 \text{ GeV}$
 $500 \leq \mu \leq 610 \text{ GeV}, \quad 1900 \leq m_{\tilde{\nu}_e} \leq 2100 \text{ GeV}, \quad 14 \leq \tan \beta \leq 31$
- co zyskałiśmy:
 - ⇒ masa ciężkiego, wirtualnego sneutrina wyznaczona z dokładnością 5% – dwukrotna poprawa
 - ⇒ dokładność wyznaczenia M_1 i M_2 poprawiona o czynnik 5
 - ⇒ dokładność wyznaczenia μ poprawiona o czynnik 3
 - ⇒ ograniczenia na $\tan \beta$

Przewidywanie mas innych cząstek

- dzięki precyzyjnemu wyznaczeniu parametrów możemy przewidzieć w jakim zakresie energetycznym znajdują się kolejne cząstki z sektora chargin i neutralin:

$$506 \leq m_{\tilde{\chi}_3^0} \leq 615 \text{ GeV}$$

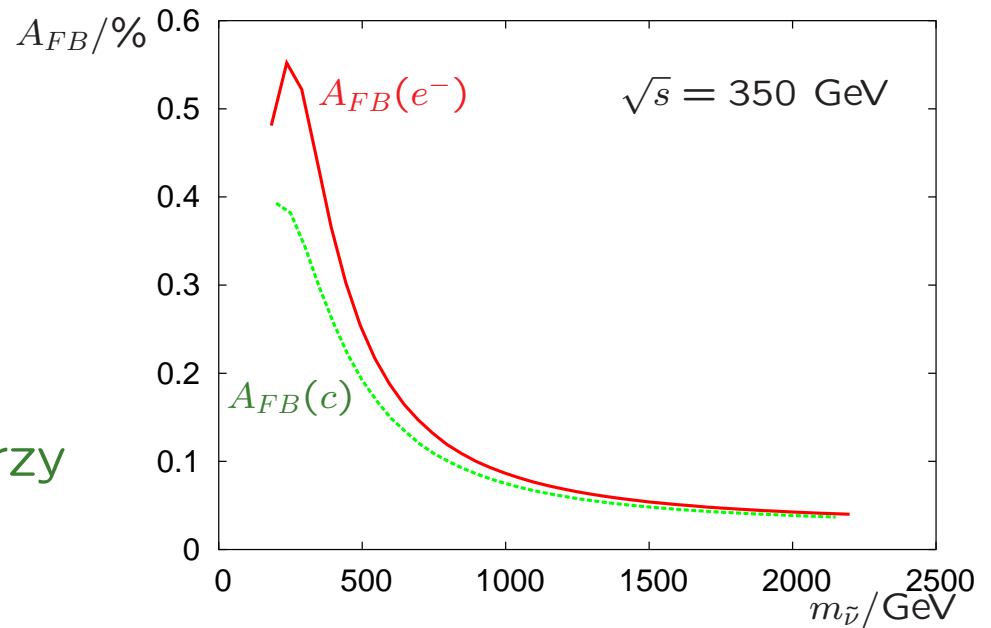
$$512 \leq m_{\tilde{\chi}_4^0} \leq 619 \text{ GeV}$$

$$514 \leq m_{\tilde{\chi}_2^\pm} \leq 621 \text{ GeV}$$

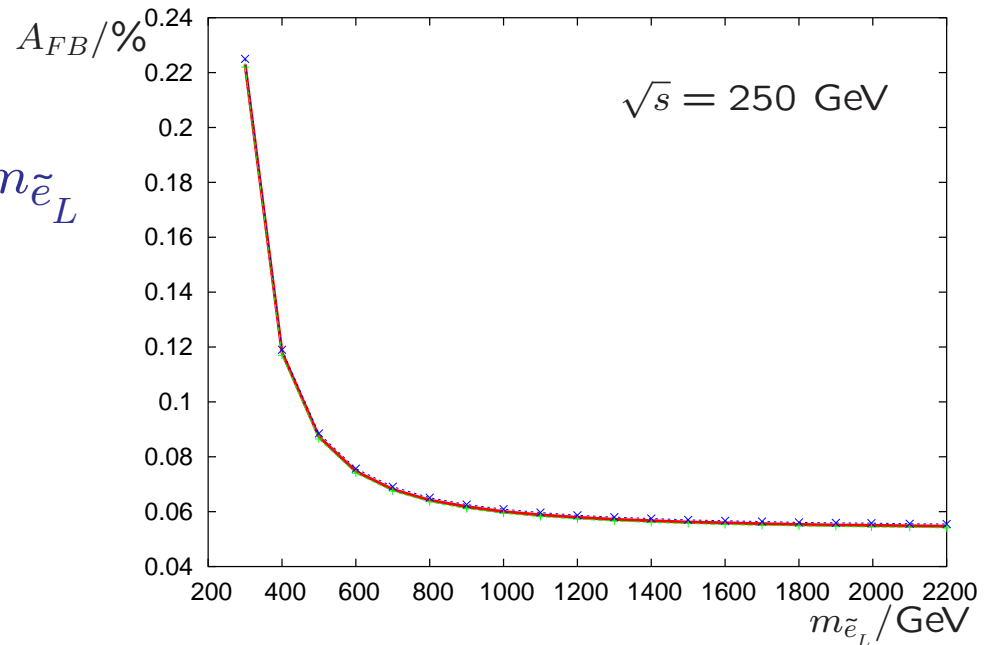
- taka informacja może okazać się przydatna przy planowaniu kolejnych eksperymentów, np. czy jest sens rozbudować ILC do 800 GeV albo 1 TeV
- ich odkrycie będzie testem na konsystentność modelu

Asymetrie przód-tył dla hadronów

- można wykorzystać A_{FB} dla dżetów c
- znając $m_{\tilde{c}_L}$ z LHC
- podobne rozkłady dla $A_{FB}(e^-)$ i $A_{FB}(c)$ dla dużych $m_{\tilde{\nu}_e}$
 \Rightarrow porównywalna dokładność przy wyznaczaniu $m_{\tilde{\nu}_e}$



- strategia: mierzymy $A_{FB}(c)$, wyznaczamy $m_{\tilde{\nu}_e}$, a następnie $m_{\tilde{e}_L}$ korzystając z $A_{FB}(e^-)$
- możliwe ograniczenia na $m_{\tilde{e}_L}$?
- testowanie relacji $SU(2)$ dla $m_{\tilde{e}_L}$ i $m_{\tilde{\nu}_e}$?



Wyznaczanie parametrów – krok trzeci

- dodajemy do funkcji χ^2 asymetrie przód-tył dla kwarków c
 - ⇒ masy skwarków wyznaczone w LHC z dokładnością ± 50 GeV
 - ⇒ konieczna identyfikacja dżetów pochodzących z kwarków c
 - zakładamy efektywność 40%
 - ⇒ efektywność wyboru przypadków na poziomie 50%, jak wcześniej
- wartości asymetrii:

\sqrt{s}/GeV	(P_{e^-}, P_{e^+})	$A_{\text{FB}}(\ell^-)/\%$	$A_{\text{FB}}(\bar{c})/\%$
350	(−90%, +60%)	4.42 ± 0.29	4.18 ± 0.74
500	(−90%, +60%)	4.62 ± 0.41	4.48 ± 1.05

- otrzymujemy:
 $59.45 \leq M_1 \leq 60.80$ GeV, $118.6 \leq M_2 \leq 124.2$ GeV, $m_{\tilde{e}_L} \geq 1500$ GeV
 $1900 \leq m_{\tilde{\nu}_e} \leq 2120$ GeV, $420 \leq \mu \leq 770$ GeV, $11 \leq \tan \beta \leq 60$
- ograniczenia mniej precyzyjne, ale mamy dodatkowy parametr

Podsumowanie i wnioski

- jeśli niskoenergetyczna supersymetria zostanie odkryta w LHC, na pewno pozostaną wątpliwości i pytania, szczególnie w trudnych scenariuszach typu focus point – potrzebujemy ILC
- trudny obszar przestrzeni parametrów SUSY: ciężkie sfermiony
⇒ mało cząstek dostępnych kinematycznie – mało danych eksperymentalnych
- asymetrie przód-tył dostarczają użytecznych informacji o ciężkich cząstkach wirtualnych
⇒ dobre ograniczenia na ich masy
⇒ precyzyjne wyznaczenie innych parametrów modelu
⇒ bez założeń o schemacie łamania supersymetrii
- konieczne są informacje zarówno z LHC jak i z ILC – wszystkie dostępne dane muszą być wykorzystane w tego typu trudnych modelach